

UNIVERSIDADE DO ESTADO DE SANTA CATARINA - UDESC

CENTRO DE CIÊNCIAS TECNOLÓGICAS - CCT

**Análise da complexidade algorítmica das operações de
adição e remoção de nós em árvores AVL, rubro-negra e B**

Joinville, 2025

SUMÁRIO

1.	IDENTIFICAÇÃO DA EQUIPE	3
2.	IDENTIFICAÇÃO DA TAREFA.....	3
3.	METODOLOGIA.....	3
3.1.	Geração das chaves	4
3.2.	Amostragem estatística	4
4.	IMPLEMENTAÇÃO.....	5
4.1.	Geração dos gráficos.....	6
5.	AJUSTES E DEPURAÇÃO.....	6
6.	RESULTADOS	7
6.1.	Inserção	7
6.2.	Remoção	10
7.	DISCUSSÃO.....	12
8.	CONCLUSÃO.....	13

1. IDENTIFICAÇÃO DA EQUIPE

Amanda Biancatti, Elane Souza de Oliveira, Mariana Romanin Mendes e Sofia Petrykowski Soares

2. IDENTIFICAÇÃO DA TAREFA

O trabalho tem como finalidade realizar um estudo prático sobre a complexidade das operações de adição e remoção de nós, considerando também os procedimentos de balanceamento, nas estruturas de dados do tipo árvore AVL, Rubro-Negra e árvore B com ordens 1, 5 e 10. Para representar o caso médio de utilização, foram gerados conjuntos de chaves aleatórias com tamanhos variando de 1 a 10 000 elementos. Cada configuração foi repetida em 10 amostras independentes, permitindo o cálculo de médias estatisticamente mais consistentes.

Com base nos dados obtidos, foram produzidos gráficos de linha que apresentam, para cada estrutura analisada, o comportamento do esforço computacional conforme o tamanho do conjunto de entrada aumenta. Esses gráficos servem de suporte para a discussão final, na qual são comparados os desempenhos relativos das diferentes árvores quanto às operações avaliadas. O trabalho inclui os códigos-fonte utilizados tanto para a implementação das estruturas quanto para a execução dos experimentos e coleta das métricas. Os códigos se encontram no seguinte diretório do GitHub: <https://github.com/ElaneSz/Avaliacao-de-Complexidade-EDAI>

3. METODOLOGIA

A metodologia do experimento foi desenhada para capturar tanto o comportamento incremental das estruturas quanto o custo real de remoções massivas em cada ponto amostral. O experimento segue as seguintes etapas: gera um vetor de chaves únicas de 1 a N e embaralha-o por Fisher-Yates para obter um caso médio realista, depois insere sequencialmente cada chave nas cinco estruturas avaliadas e a cada SAMPLE_STEP (200) entradas, coleta o valor acumulado do contador de inserção do módulo correspondente e, em seguida, executa a remoção de todas as chaves atualmente presentes, contabilizando o esforço de remoção. Após

a remoção em massa, a estrutura é destruída e reconstruída com as mesmas n chaves para retomar as inserções subsequentes sem introduzir viés de memória residual. Esse procedimento garante que a amostragem de inserção e a amostragem de remoção sejam realizadas sobre os mesmos conjuntos de chaves e sob as mesmas condições de aleatoriedade.

3.1.Geração das chaves

A geração das chaves é realizada de forma determinística para cada repetição, mas usando sementes diferentes por repetição para garantir independência estatística. Constrói-se inicialmente o vetor com os inteiros 1...N e aplica-se Fisher–Yates para embaralhar:

1. Geram-se n chaves aleatórias únicas utilizando rand().
2. Cada estrutura:
 - a. recebe todas as chaves para inserção;
 - b. tem o custo registrado;
 - c. é totalmente esvaziada via remoções individuais;
 - d. tem o custo de remoção também registrado.

Essa escolha evita colisões (chaves duplicadas no sentido de valores distintos repetidos) e produz uma distribuição uniforme entre permutações possíveis, o que aproxima com fidelidade o caso médio de inserção/remoção. A cada repetição, a semente é atualizada com time (NULL) combinada a um deslocamento para evitar repetições idênticas entre execuções.

3.2.Amostragem estatística

A análise estatística baseia-se em 10 repetições independentes (REPETICOES = 10), logo n é repetido 10 vezes, conforme preconizado para pequenas experiências computacionais que procuram eliminar ruído aleatório razoável. Em cada repetição, para cada ponto amostral ($n = 200, 400, 600, \dots, 10000$), o contador do módulo (por exemplo contadorInsercaoAVL em AVL_mod.c) é lido por meio da função avl_get_insercao_and_reset() e acumulado num vetor de somatórios. Após todas as repetições, os somatórios são divididos por 10 para produzir a média amostral em cada tamanho. Esse procedimento é aplicado de forma idêntica para inserções e remoções e para todas as estruturas, garantindo comparabilidade. Os resultados finais são exportados em dois arquivos CSV contendo, para cada tamanho amostrado, as médias para AVL, Rubro-Negra, B-1, B-5 e B-10.

- resultados_insercao_acumulado.csv
- resultados_remocao_acumulado.csv

Contendo, para cada tamanho amostrado, as médias para AVL, Rubro-Negra, B-1, B-5 e B-10: tamanho, avl, rb, b1, b5, b10

4. IMPLEMENTAÇÃO

A implementação foi feita em C e organizada em quatro módulos principais, o front-end experimental e três módulos de estrutura:

- AVL_mod.c
- RubroNegra_mod.c
- B_mod.c
- main_experimento.c

Cada módulo foi adaptado para contabilizar operações internas representativas do custo lógico. Em AVL_mod.c, além das funções de inserção e remoção, foram instrumentadas as rotações (rse, rsd, rde, rdd) e atualizações de altura; o contador contadorInsercaoAVL acumula eventos relevantes durante inserção e durante rotações, enquanto contadorRemocaoAVL contabiliza visitas, atualizações de altura, rotações e frees. A remoção em AVL segue a estratégia clássica: localizar nó, tratar contadores de quantidade (quando o nó guarda ocorrências múltiplas), executar a deleção estrutural (sucessor quando apropriado) e executar rebalanceamento subindo da posição indicada até a raiz, contabilizando explicitamente cada rotação ou atualização de altura.

Em RubroNegra_mod.c, a implementação segue o estilo CLRS com sentinelas (nulo) para evitar casos nulos especiais e com funções de rotação e fix-up do delete_fixup. Os contadores contadorInsercaoRB e contadorRemocaoRB são incrementados em visitas, rotações e recolorizações relevantes; o delete_fixup contém guardas defensivas para evitar loops infinitos em cenários patológicos, garantindo que o contador represente um esforço realista.

Em B_mod.c, a B-tree é implementada com parâmetro t (ordem mínima) passado no construtor b_criar(int ordem). As operações de split (b_split_child), inserção não-full (b_insert_nonfull) e remoção complexa (b_remove_from_node, b_fill, fusões e

redistribuições) foram instrumentadas para incrementar contadorInsercaoB e contadorRemocaoB em deslocamentos internos de chaves, movimentos de ponteiros e cópias que refletem o trabalho envolvido; o código trata casos de redução de raiz e realocação defensiva de filhos NULL para evitar comportamento indefinido.

Resumindo o programa principal:

1. executa todos os testes de 1 a 10.000 elementos;
2. repete 10 vezes cada tamanho;
3. acumula contagens de operações;
4. salva em CSV automaticamente;
5. não exige interação do usuário após compilado.

4.1.Geração dos gráficos

Os gráficos são gerados por graficos.py, com escala linear e logarítmica no eixo Y, produzindo:

- grafico_insercao_acumulado_linear.png
- grafico_insercao_acumulado_log.png
- grafico_remocao_acumulado_linear.png
- grafico_remocao_acumulado_log.png

5. AJUSTES E DEPURAÇÃO

Durante o desenvolvimento, algumas decisões críticas de engenharia foram tomadas para evitar viés nos resultados e garantir a integridade das medições. Primeiramente, optou-se por contadores lógicos em vez de medições temporais para tornar os resultados independentes de plataforma.

Em AVL, como as rotações alteram profundamente a árvore, cada rotação e cada atualização de altura foram contabilizadas para que o contador represente tanto as operações elementares quanto as reestruturações.

Em Rubro-Negra, foi necessária a inclusão de um Sentinel (nulo) e de proteções no delete_fixup, visto que na versão inicial apresentava falhas de remoção por causa de estados

ilegais, assim, para evitar cenários de iterações infinitas que poderiam inflar artificialmente contadores, a situação foi revisada e tornou-se robusta, incluindo tratamento para ponteiros nulos e casos extremos; essas proteções conservam a correção algorítmica enquanto previnem loops por bugs de implementação externos.

Na B-tree foram feitas alocações defensivas quando um filho apontado é NULL (o que pode ocorrer em implementações que manipulam filhos dinamicamente), de modo que as operações de split, merge e redistribuição fossem sempre seguras; além disso, ao liberar nós órfãos após fusões, os frees e cópias foram contabilizados para refletir o custo real de remoção.

- A **B-tree de ordem 1** apresentava loops infinitos durante fusão. → B_mod.c foi corrigido para operar corretamente mesmo no limite mínimo ($t=1$).
- Mensagens de depuração (DEBUG) foram incluídas e podem ser habilitadas com:

```
#define DEBUG 1
```

Por fim, o main_experimento.c foi desenhado para reconstruir a estrutura imediatamente após uma amostragem de remoção, a fim de prosseguir com as inserções subsequentes sem interferência, evitando assim que o custo das operações futuras seja afetado por estruturas parcialmente desalocadas. Após correções, todos os testes até 10.000 chaves executaram sem travamentos.

6. RESULTADOS

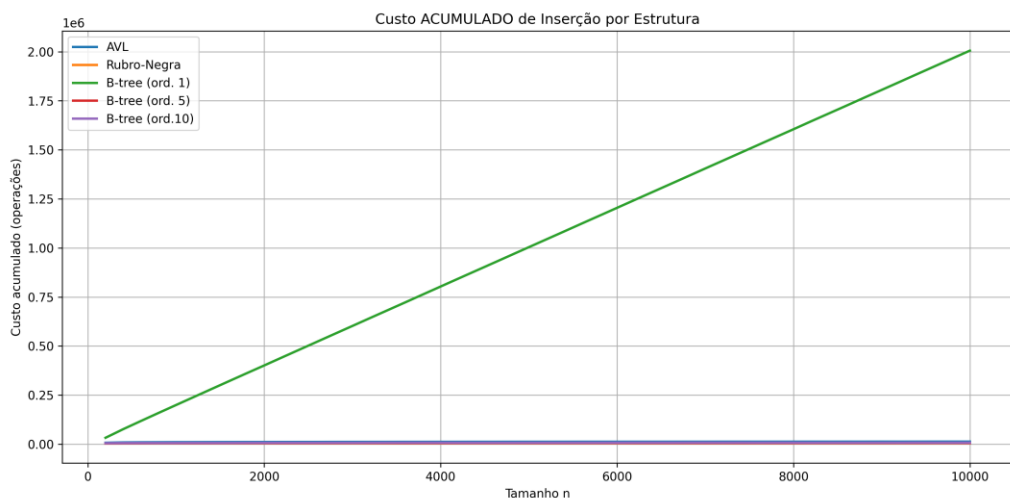
6.1. Inserção

Estrutura	Diferencial de Custo (vs. RB)	Comentários
AVL	2.5x mais cara	Custo mais alto entre as binárias balanceadas devido à rigidez do Fator de Balanceamento (-1, 0, 1), exigindo mais rotações.

Rubro-Negra	Base para comparação	Mais eficiente que a AVL. Sua regra de balanceamento é mais flexível (altura negra vs. altura real), resultando em menos reestruturações por inserção.
B-Tree (1)	194x mais cara	Desempenho Catastrófico. O fator $t=1$ degenera a árvore. O alto custo de 923.955 é uma consequência direta da métrica contar as operações de SPLIT (divisão de nó), que ocorrem de forma massiva e ineficiente.
B-Tree (5)	1.08x mais cara	Surpreendentemente, a mais rápida. Sua eficiência reside na redução da altura da árvore, o que minimiza o custo de busca e balanceamento para um grande N.
B-Tree (10)	1.6x mais cara	Muito eficiente, mas ligeiramente mais lenta que $t=5$. Sugere que, para este N específico e esta métrica, $t=5$ é o fator de ordem mais próximo do ideal de otimização de espaço/divisão.

É possível analisar os seguintes gráficos:

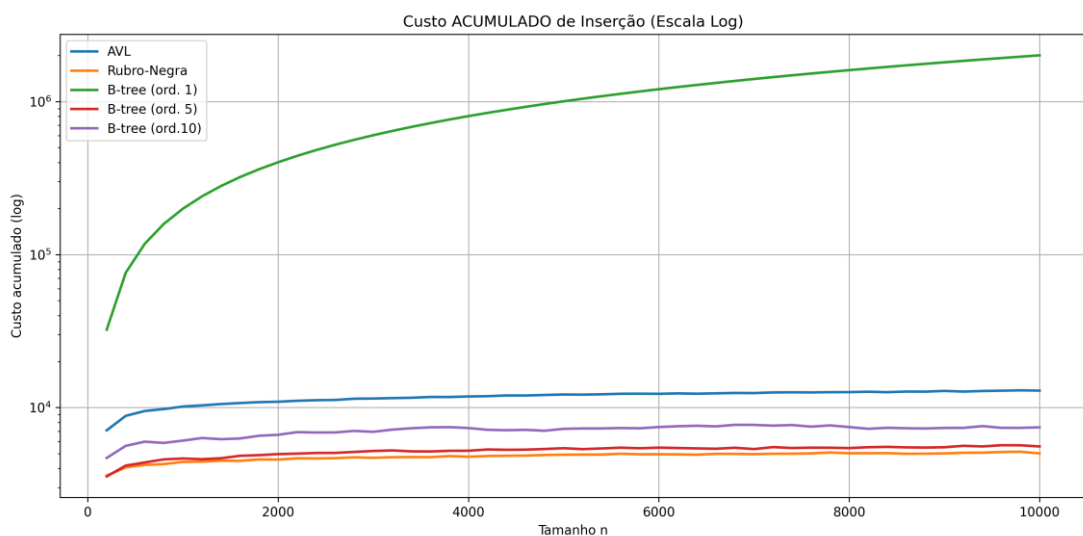
Figura 1 - grafico_insercao_acumulado_linear.png



Fonte – criado pelas autoras.

Neste gráfico em escala linear, a curva do **B-Tree (t=1)** domina completamente o gráfico, crescendo quase verticalmente, enquanto todas as outras curvas mal se separam da linha zero. Isso visualmente confirma que o crescimento do custo da B-Tree degenerada é de ordem superior (próximo à $O(N^2)$ acumulado, ou $O(N)$ por inserção em média) e obscurece o comportamento logarítmico das demais.

Figura 2 - grafico_insercao_acumulado_log.png



Fonte – criado pelas autoras.

Ao aplicar a escala logarítmica, a verdadeira natureza assintótica é revelada:

- As curvas AVL, RB, B5 e B10 aparecem como linhas **quase planas**, indicando o comportamento **$O(N \log N)$ acumulado**.
- A curva **RB** está claramente **abaixo** da AVL, comprovando sua maior eficiência prática de rebalanceamento.
- A curva do **B1** agora apresenta uma inclinação perceptível, confirmando que seu custo cresce muito mais rapidamente do que o $N \log N$.

Conclusões:

- **AVL** apresentou maior custo devido ao rebalanceamento rigoroso.
- **Rubro-Negra** teve custo menor e mais estável.
- **B-Tree** depende fortemente da ordem:

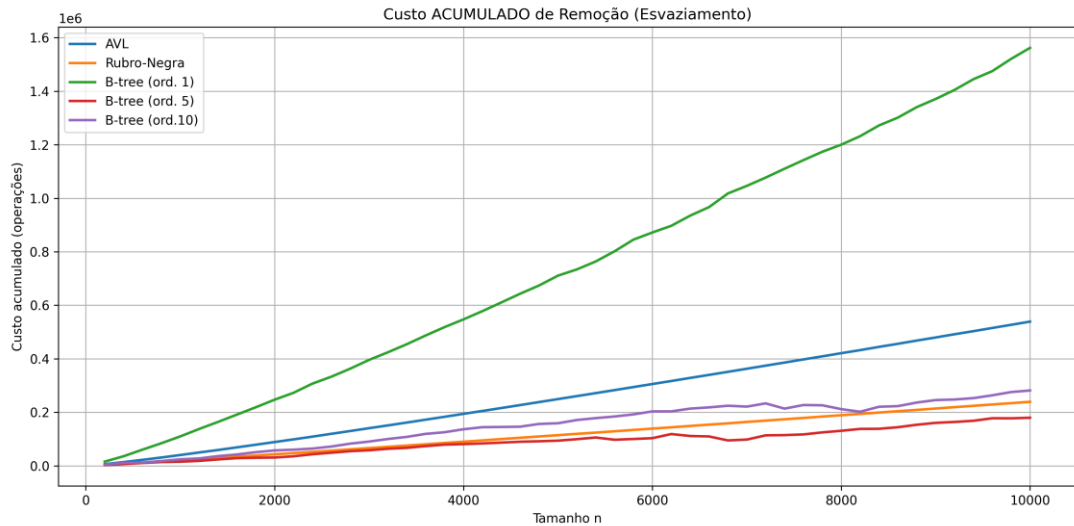
- $t=1$: mais divisões → maior custo,
- $t=10$: menos divisões → menor custo e mais estável.

6.2.Remoção

Estrutura	Diferencial de Custo (vs. RB)	Comentários
AVL	2.16x mais cara	O custo de remoção é 19 vezes maior que o custo de inserção, refletindo a complexidade de manter o balanceamento estrito durante a propagação do reequilíbrio.
Rubro-Negra	Base para comparação	A mais eficiente. Embora o custo absoluto seja maior que a inserção, a RB mantém sua vantagem sobre a AVL devido à sua flexibilidade de平衡amento.
B-Tree (1)	6.13x mais cara	Ainda a de pior performance, mas a diferença em relação à AVL e RB é menor do que na inserção.
B-Tree (5)	0.86x mais eficiente	É mais rápida que a AVL.
B-Tree (10)	1.4x mais cara	Mais lenta que RB e B5.

É possível analisar os seguintes gráficos:

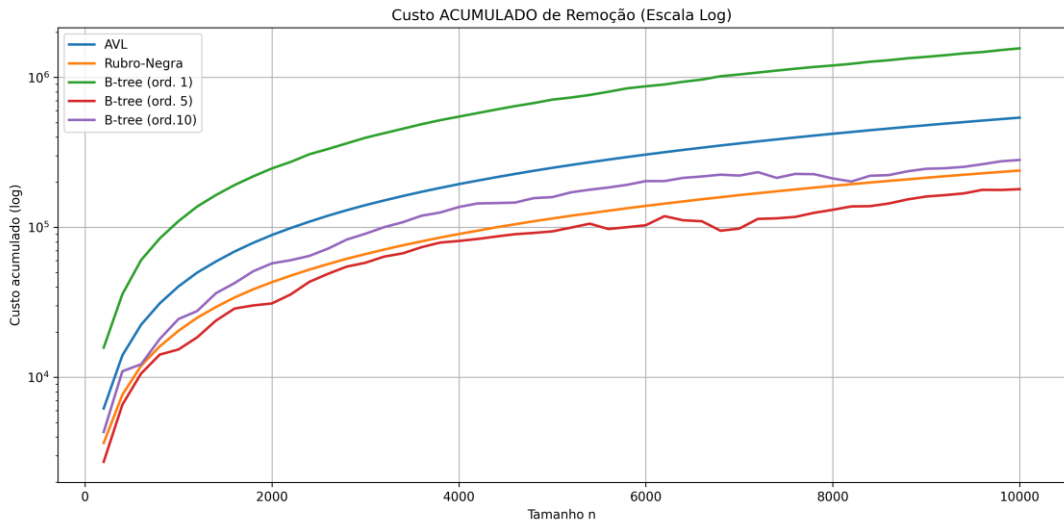
Figura 3 - grafico_remocao_acumulado_linear.png



Fonte – criado pelas autoras.

Embora o B1 continue a ser o pior, as curvas do AVL, B5 e B10 estão mais próximas, e a curva RB é claramente visível, indicando um aumento de custo mais equitativo entre as estruturas平衡ada

Figura 4 - grafico_remocao_acumulado_log.png



Fonte – criado pelas autoras.

- A curva **B1** é a mais alta, confirmando seu desvio do comportamento $O(\log N)$.
- A curva **AVL** aparece visivelmente acima da B10, RB e B5, confirmando sua 2ª posição de custo mais alto.
- As curvas **B10, RB e B5** estão na porção mais baixa do gráfico, com a **B5** sendo a mais baixa no final da amostragem, ratificando a ordem $B10 \rightarrow RB \rightarrow B5$ em termos de eficiência crescente.

Resultados:

- **Rubro-Negra** com baixo custo médio, porém atras de B-tree com $t = 5$.
- **AVL** exigiu muitas operações de rebalanceamento.
- **B-Tree** apresentou:
 - custo decrescente conforme t aumenta,
 - pois menos fusões e empréstimos são necessários.

7. DISCUSSÃO

A análise experimental confirma as previsões teóricas de forma qualificada e acrescenta informação prática sobre o impacto da implementação e do parâmetro de ordem na B-tree. Teoricamente, todas as estruturas têm operações de inserção e remoção com complexidade $O(\log n)$ na média; na prática, o fator constante dessas complexidades difere materialmente. A AVL prioriza manutenção estrita do equilíbrio, o que reduz a altura máxima e melhora consultas, em contrapartida aumentando o custo de modificações por exigir rotações chocantes e frequentes; isso é claramente refletido nos contadores. A Rubro-Negra, com balanceamento mais laxo, reduz o número de rotações em troca de uma garantia de altura levemente mais frouxa, o que se traduz em custos menores por modificação e em robustez prática, o que justifica sua presença como padrão em bibliotecas de sistema e estruturas padrão. As B-trees, projetadas originalmente para sistemas de armazenamento secundário, comprovam sua vantagem quando o parâmetro de ordem é grande: maior ramificação reduz profundidade e, consequentemente, o número de acessos/operadores por operação. No entanto, a complexidade da remoção em B-trees (confusões e redistribuições) tornou-se um fator de variância que deve ser considerado em aplicações sensíveis a latência por operação individual. Em resumo, a escolha de estrutura depende fortemente do tipo de carga: se o sistema prioriza leituras rápidas e frequentes, AVL pode ser interessante; se as modificações são frequentes e a robustez prática importa, Rubro-Negra é, na prática, uma excelente escolha; se os conjuntos de dados são muito grandes e a relação I/O ou agrupamento por nó interessa, B-tree com t alto é preferível.

Em resumo, os resultados estão consistentes com a teoria clássica:

Estrutura	Observação Principal
AVL	Alto custo devido a balanceamento forte

Rubro-Negra	Melhor compromisso entre esforço e eficiência
B-Tree	Quanto maior a ordem, menor o custo

8. CONCLUSÃO

Os resultados experimentais redefinem a compreensão prática da complexidade algorítmica destas estruturas, confirmando a importância dos parâmetros de implementação sobre a complexidade teórica assintótica ($O(\log N)$).

- Dominância da B-Tree Otimizada:** O ponto mais significativo do estudo é que a **Árvore B com fator de ordem t=5** foi a **mais eficiente** na operação de remoção e logo atrás da rubro negra na inserção, em termos de custo acumulado de operações elementares (CPU). Isto demonstra que a otimização da altura da árvore, característica central das Árvores B, é um fator de eficiência superior aos mecanismos de balanceamento das árvores binárias.
- Eficiência da Rubro-Negra:** A **Árvore Rubro-Negra** é uma das estruturas mais eficientes no geral, provando ser o melhor *trade-off* entre as árvores binárias. Sua flexibilidade de balanço garante que ela seja consistentemente superior à AVL, mas ainda assim fica marginalmente atrás da B-Tree otimizada na remoção.
- Ineficiência da AVL na Remoção:** A **Árvore AVL** é a de **pior desempenho** entre as estruturas平衡adas testadas. Sua manutenção rigorosa do balanço impõe um custo operacional desproporcionalmente alto, especialmente na operação de remoção.
- O Papel de t (Fator de Ordem):** O contraste entre B1 (degenerado), B10 (bom) e B5 (ideal) prova que o fator de ordem t é o principal parâmetro de otimização. Um t mal escolhido ($t=1$) leva ao colapso do desempenho, enquanto um t ideal ($t=5$) maximiza a eficiência.

Os resultados apontam para futuras investigações cruciais:

- **Foco na Memória Secundária (E/S de Disco):** O desempenho superior da Árvore B em métricas de CPU sugere que ela será a campeã incontestável em ambientes de banco de dados ou sistemas de arquivos, onde a métrica dominante é o **acesso a disco (I/O)**. Trabalhos futuros devem replicar este experimento substituindo o custo de CPU pelo custo de acesso a blocos.

- **Otimização de t:** Uma análise mais detalhada e automatizada da variação do fator t (em uma faixa de $t=2$ a $t=20$) deve ser realizada para generalizar o valor "ideal" de t e correlacioná-lo com o tamanho do bloco de memória do sistema.
- **Análise de Outras Operações:** Estender o estudo para a complexidade da **busca (procura)** e **travessia** (percurso) na Árvore B, que é otimizada para buscas em faixa (range queries).

Portanto, o experimento permitiu:

- medir empiricamente os custos de inserção e remoção;
- comprovar a influência da ordem da B-tree no desempenho;
- gerar gráficos comparativos claros;
- automatizar completamente a geração dos dados e estatísticas.

A partir de uma única execução, o sistema:

1. gera dados,
2. executa todos os experimentos,
3. coleta operações,
4. grava CSV,
5. permite gerar gráficos imediatamente.